

Starkniederschlagshöhen und -spenden gemäß KOSTRA-DWD-2020

Rasterfeld 213180

(Zeile 213, Spalte 180)

Regenspende und Bemessungsniederschlagswerte in Abhängigkeit von Wiederkehrzeit T und Dauerstufe D

| Dauerstufe D | | Wiederkehrzeit T | | | | | | | | | | | | | | | | | |
|--------------|-----|------------------|------------|-------|------------|-------|------------|-------|------------|-------|------------|-------|------------|-------|------------|-------|------------|-------|------------|
| | | 1 a | | 2 a | | 3 a | | 5 a | | 10 a | | 20 a | | 30 a | | 50 a | | 100 a | |
| min | Std | mm | l / (s ha) | mm | l / (s ha) | mm | l / (s ha) | mm | l / (s ha) | mm | l / (s ha) | mm | l / (s ha) | mm | l / (s ha) | mm | l / (s ha) | mm | l / (s ha) |
| 5 | | 7,7 | 256,7 | 9,5 | 316,7 | 10,6 | 353,3 | 12,1 | 403,3 | 14,2 | 473,3 | 16,3 | 543,3 | 17,7 | 590,0 | 19,6 | 653,3 | 22,2 | 740,0 |
| 10 | | 10,5 | 175,0 | 12,9 | 215,0 | 14,4 | 240,0 | 16,3 | 271,7 | 19,2 | 320,0 | 22,1 | 368,3 | 24,0 | 400,0 | 26,5 | 441,7 | 30,0 | 500,0 |
| 15 | | 12,3 | 136,7 | 15,2 | 168,9 | 16,9 | 187,8 | 19,2 | 213,3 | 22,5 | 250,0 | 26,0 | 288,9 | 28,2 | 313,3 | 31,2 | 346,7 | 35,4 | 393,3 |
| 20 | | 13,8 | 115,0 | 17,0 | 141,7 | 18,9 | 157,5 | 21,5 | 179,2 | 25,2 | 210,0 | 29,0 | 241,7 | 31,5 | 262,5 | 34,8 | 290,0 | 39,5 | 329,2 |
| 30 | | 16,1 | 89,4 | 19,8 | 110,0 | 22,0 | 122,2 | 25,0 | 138,9 | 29,4 | 163,3 | 33,8 | 187,8 | 36,8 | 204,4 | 40,6 | 225,6 | 46,1 | 256,1 |
| 45 | | 18,7 | 69,3 | 22,9 | 84,8 | 25,6 | 94,8 | 29,1 | 107,8 | 34,1 | 126,3 | 39,3 | 145,6 | 42,7 | 158,1 | 47,1 | 174,4 | 53,5 | 198,1 |
| 60 | 1 | 20,7 | 57,5 | 25,5 | 70,8 | 28,4 | 78,9 | 32,3 | 89,7 | 37,9 | 105,3 | 43,6 | 121,1 | 47,4 | 131,7 | 52,3 | 145,3 | 59,4 | 165,0 |
| 90 | 1,5 | 24,0 | 44,4 | 29,5 | 54,6 | 32,9 | 60,9 | 37,4 | 69,3 | 43,8 | 81,1 | 50,5 | 93,5 | 54,8 | 101,5 | 60,6 | 112,2 | 68,7 | 127,2 |
| 120 | 2 | 26,6 | 36,9 | 32,7 | 45,4 | 36,4 | 50,6 | 41,4 | 57,5 | 48,6 | 67,5 | 56,0 | 77,8 | 60,8 | 84,4 | 67,1 | 93,2 | 76,2 | 105,8 |
| 180 | 3 | 30,7 | 28,4 | 37,7 | 34,9 | 42,1 | 39,0 | 47,8 | 44,3 | 56,1 | 51,9 | 64,6 | 59,8 | 70,2 | 65,0 | 77,5 | 71,8 | 88,0 | 81,5 |
| 240 | 4 | 34,0 | 23,6 | 41,8 | 29,0 | 46,6 | 32,4 | 53,0 | 36,8 | 62,1 | 43,1 | 71,6 | 49,7 | 77,7 | 54,0 | 85,8 | 59,6 | 97,4 | 67,6 |
| 360 | 6 | 39,2 | 18,1 | 48,2 | 22,3 | 53,8 | 24,9 | 61,1 | 28,3 | 71,7 | 33,2 | 82,6 | 38,2 | 89,7 | 41,5 | 99,1 | 45,9 | 112,5 | 52,1 |
| 540 | 9 | 45,2 | 14,0 | 55,6 | 17,2 | 62,1 | 19,2 | 70,5 | 21,8 | 82,7 | 25,5 | 95,3 | 29,4 | 103,5 | 31,9 | 114,3 | 35,3 | 129,7 | 40,0 |
| 720 | 12 | 50,0 | 11,6 | 61,6 | 14,3 | 68,7 | 15,9 | 78,0 | 18,1 | 91,5 | 21,2 | 105,4 | 24,4 | 114,5 | 26,5 | 126,5 | 29,3 | 143,6 | 33,2 |
| 1080 | 18 | 57,7 | 8,9 | 71,0 | 11,0 | 79,2 | 12,2 | 90,0 | 13,9 | 105,5 | 16,3 | 121,6 | 18,8 | 132,1 | 20,4 | 145,8 | 22,5 | 165,6 | 25,6 |
| 1440 | 24 | 63,9 | 7,4 | 78,5 | 9,1 | 87,6 | 10,1 | 99,6 | 11,5 | 116,8 | 13,5 | 134,5 | 15,6 | 146,1 | 16,9 | 161,4 | 18,7 | 183,2 | 21,2 |
| 2880 | 48 | 81,5 | 4,7 | 100,2 | 5,8 | 111,8 | 6,5 | 127,0 | 7,3 | 149,0 | 8,6 | 171,6 | 9,9 | 186,4 | 10,8 | 205,9 | 11,9 | 233,7 | 13,5 |
| 4320 | 72 | 93,9 | 3,6 | 115,5 | 4,5 | 128,9 | 5,0 | 146,5 | 5,7 | 171,8 | 6,6 | 197,9 | 7,6 | 215,0 | 8,3 | 237,4 | 9,2 | 269,4 | 10,4 |
| 5760 | 96 | 103,9 | 3,0 | 127,8 | 3,7 | 142,6 | 4,1 | 162,0 | 4,7 | 190,0 | 5,5 | 218,9 | 6,3 | 237,8 | 6,9 | 262,6 | 7,6 | 298,1 | 8,6 |
| 7200 | 120 | 112,4 | 2,6 | 138,2 | 3,2 | 154,2 | 3,6 | 175,2 | 4,1 | 205,5 | 4,8 | 236,7 | 5,5 | 257,2 | 6,0 | 284,0 | 6,6 | 322,4 | 7,5 |
| 8640 | 144 | 119,8 | 2,3 | 147,4 | 2,8 | 164,4 | 3,2 | 186,8 | 3,6 | 219,1 | 4,2 | 252,4 | 4,9 | 274,2 | 5,3 | 302,7 | 5,8 | 343,7 | 6,6 |
| 10080 | 168 | 126,5 | 2,1 | 155,5 | 2,6 | 173,6 | 2,9 | 197,2 | 3,3 | 231,3 | 3,8 | 266,4 | 4,4 | 289,4 | 4,8 | 319,6 | 5,3 | 362,8 | 6,0 |

Starkniederschlagshöhen und -spenden gemäß KOSTRA-DWD-2020

Rasterfeld 213180

(Zeile 213, Spalte 180)

Örtliche Unsicherheiten in Abhängigkeit von Wiederkehrzeit T und Dauerstufe D

| Dauerstufe D | | Wiederkehrzeit T | | | | | | | | |
|--------------|-----|------------------|-----|-----|-----|------|------|------|------|-------|
| | | 1 a | 2 a | 3 a | 5 a | 10 a | 20 a | 30 a | 50 a | 100 a |
| min | Std | ± % | ± % | ± % | ± % | ± % | ± % | ± % | ± % | ± % |
| 5 | | 29 | 30 | 31 | 31 | 32 | 32 | 32 | 33 | 33 |
| 10 | | 31 | 32 | 33 | 33 | 34 | 34 | 34 | 35 | 35 |
| 15 | | 31 | 32 | 33 | 33 | 34 | 35 | 35 | 35 | 36 |
| 20 | | 31 | 32 | 32 | 33 | 34 | 34 | 35 | 35 | 35 |
| 30 | | 30 | 31 | 32 | 32 | 33 | 33 | 34 | 34 | 34 |
| 45 | | 28 | 29 | 30 | 31 | 31 | 32 | 32 | 33 | 33 |
| 60 | 1 | 27 | 28 | 29 | 29 | 30 | 31 | 31 | 31 | 32 |
| 90 | 1,5 | 25 | 26 | 27 | 27 | 28 | 29 | 29 | 29 | 30 |
| 120 | 2 | 24 | 25 | 25 | 26 | 27 | 27 | 28 | 28 | 28 |
| 180 | 3 | 22 | 23 | 24 | 24 | 25 | 25 | 26 | 26 | 26 |
| 240 | 4 | 21 | 22 | 22 | 23 | 24 | 24 | 24 | 25 | 25 |
| 360 | 6 | 20 | 20 | 21 | 21 | 22 | 23 | 23 | 23 | 24 |
| 540 | 9 | 19 | 20 | 20 | 21 | 21 | 22 | 22 | 22 | 23 |
| 720 | 12 | 19 | 20 | 20 | 20 | 21 | 21 | 22 | 22 | 22 |
| 1080 | 18 | 20 | 20 | 20 | 21 | 21 | 21 | 22 | 22 | 22 |
| 1440 | 24 | 21 | 21 | 21 | 21 | 22 | 22 | 22 | 22 | 22 |
| 2880 | 48 | 25 | 25 | 24 | 24 | 24 | 25 | 25 | 25 | 25 |
| 4320 | 72 | 28 | 27 | 27 | 27 | 27 | 27 | 27 | 27 | 27 |
| 5760 | 96 | 30 | 30 | 29 | 29 | 29 | 29 | 29 | 29 | 29 |
| 7200 | 120 | 32 | 31 | 31 | 31 | 31 | 31 | 31 | 30 | 31 |
| 8640 | 144 | 34 | 33 | 33 | 32 | 32 | 32 | 32 | 32 | 32 |
| 10080 | 168 | 35 | 34 | 34 | 34 | 33 | 33 | 33 | 33 | 33 |

Parameter für abweichende T und D

Lokationsparameter ξ (Xi)

20,95659391

Skalenparameter α (Alpha)

6,69736718

Formparameter κ (Kappa)

-0,1

1. Koutsoyiannis-Parameter θ (Theta)

0,01731269

2. Koutsoyiannis-Parameter η (Eta)

0,64904873

Parameter für dauerstufenübergreifende Extremwertschätzung nach KOUTSOYIANNIS et al. 1998.

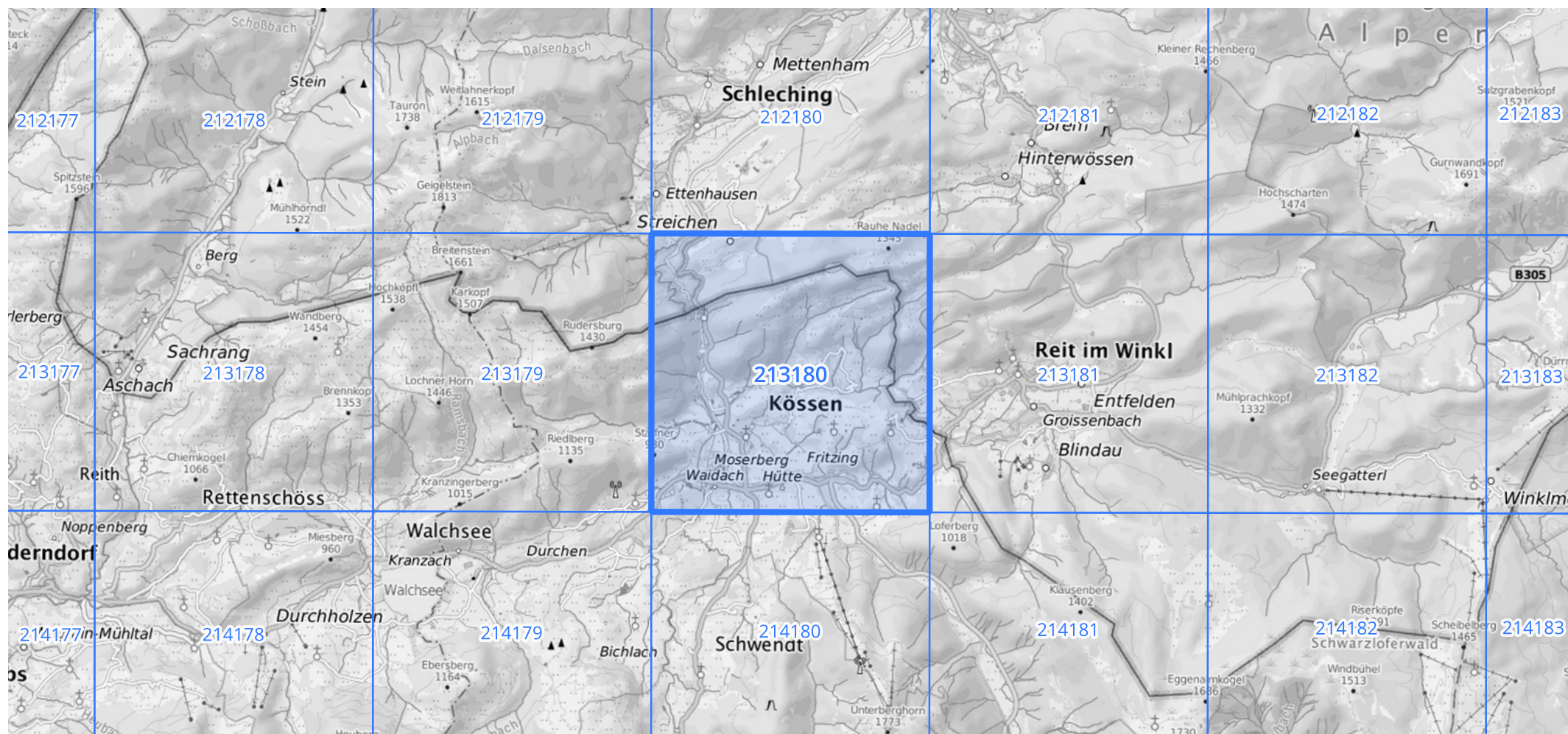
Siehe auch Anwendungshilfe zu KOSTRA-DWD-2020 des Deutschen Wetterdienstes.

Starkniederschlagshöhen und -spenden gemäß KOSTRA-DWD-2020

Rasterfeld 213180

(Zeile 213, Spalte 180)

Übersichtskarte des Rasterfeldes 213180, M 1 : 100 000



Quelle Rasterdaten: KOSTRA-DWD-2020 des Deutschen Wetterdienstes, Stand 12/2022.

Seite 3 von 3

Kartendarstellung: © Bundesamt für Kartographie und Geodäsie (2023), Datenquellen: https://sgx.geodatenzentrum.de/web_public/gdz/datenquellen/Datenquellen_TopPlusOpen.html

Für die Richtigkeit und Aktualität der Angaben wird keine Gewähr übernommen. Erstellt 01/2023.